

嫌気好気循環活性汚泥法の理論的窒素除去率の検討

立命館大学理工学部 正員 ○藤井滋穂
嶺南大学環境工学科 李炳大

1.はじめに 嫌気好気循環法における窒素除去率は、その返送+循環比Rを用いた $100R/(1+R)$ によってしばしば検討されるが、本式では硝化・脱窒で制限因子となる水質因子、および活性汚泥による窒素摂取等の共存反応を考慮していない。本報ではこれらを考慮した理論的窒素除去率について検討する。

2.理論解析の仮定条件 理論解析のため、次の仮定を行い現象を簡略化した。
①関連水質は NH_4^+ -N, NO_3^- -N, アルカリ度、基質(基質は脱窒での減少COD分で表記), DO。これらは予め生物増殖による変化を考慮して、無機化および硝化に寄与する濃度で与える。
②好気(曝気)槽での基質の好気的分解と硝化、嫌気(無曝気)槽での持込DOによる好気分解(優先)と脱窒のみを反応として考え、これらはいずれかの反応物質がゼロとなるまで進行。
③水質値は、流入水の NH_4^+ -Nに対する当量比(無次元)で与える。即ち、好気分解では基質1の減少でDO1減少(嫌気槽のみ)、硝化では NH_4^+ -Nが1減少、アルカリ度が2減少、 NO_3^- -Nが1増加し、脱窒では NO_3^- -Nと基質がともに1減少し、アルカリ度が1増加。
④汚泥の内生呼吸による脱窒は無視。

3.プロセス内の水質変化 以上の仮定に基づき、同プロセスを図1のように簡略化した。図中■が与条件であり、 $a (=0.28 \times \text{アルカリ度} (\text{mgCaCO}_3/\text{L}) / \text{NH}_4^+\text{-N} (\text{mgN/L}))$, $b (=0.35 \times \text{基質} (\text{mgCOD/L}) / \text{NH}_4^+\text{-N} (\text{mgN/L}))$ は流入水質因子に、R(返送率と循環率の和)及びD($=0.35 \times \text{好気槽端DO} (\text{mgO/L}) / \text{流入NH}_4^+\text{-N} (\text{mgN/L})$)は操作因子に相当する。図中の式はこれらと嫌気槽での好気分解量 m_0 、脱窒量 m_1 、好気槽での硝化量 m_2 を用いて物質収支から得たものである。

4.反応パターン 本プロセスでは嫌気槽で嫌気化未了か NO_3^- -N残存か NO_3^- -N消失か、好気槽の律速因子が NH_4^+ -Nかアルカリ度かで、表1に示す6ケースが生じる。図1の $m_0 \sim m_2$ は表中の式条件(等式)を連立して解くことで、各ケースについて算出でき、これらを同不等式に代入して得たのが“a, b条件”である。循環率Rと終端DO強度Dとを固定した場合、流入水の基質及びアルカリ度の対 NH_4^+ -N比a, bによって、生じるケースが異なり、図2(例:R=5, D=0.1)のようなパターンとなる。

一般にアルカリ度当量比aが2以下では硝化が未了(Case 2, 4, 6)に、基質当量比bが1以下では脱窒が未了(Case 3~6)になる。

5.領域分割 D一定の場合、同じ水質組成でもRの値により生じるケースは変化するが、a, bの範囲によってその変化パターンは定まり(表2)、図3に示すZone A~Cの3領域に分割できる。Zone Aでは、Rが小さいとき脱窒硝化とも完了するCase 1であるが、その増大で嫌気槽での持込DOの影響が強まり、脱窒未了(Case 3)、最後

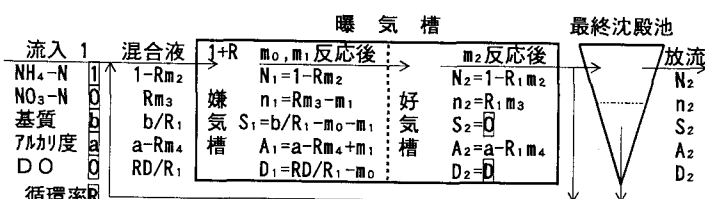


図1 嫌気好気循環法の設定および計算水質濃度
注) $R_1=R+1$, $R_2=R+2$, $m_3=m_2-m_1$, $m_4=2m_2-m_1$; m_0, m_1, m_2 は反応量

表1 各反応パターンとその流入条件および除去率

| Case | 反応パターンと式条件 | | $a, b, (b=DR)$ | 条件 | 除去率(%) | |
|------|--|---|----------------|----------|-------------|--------------------|
| | 嫌気槽 | 好気槽 | | | T-N | NH ₄ -N |
| 1 | 脱窒完了 $* \text{硝化完了}$ | $R/R_1 < b_1$, $R_2 < a$ | R/R_1 | R/R_1 | 1 | |
| 2 | $n_1, D_1 = 0, S_1 > 0$ $** \text{硝化未了}$ | $aR/R_2 < b_1$, $R_1 < a$ | aR/R_2 | aR/R_2 | aR_1/R_2 | |
| 3 | 脱窒未了 $* N_2 = 0, A_2 > 0$ | $0 < b_1 < \frac{R}{R_1}$, $a < 2 - b_1$ | $2 - b_1 < a$ | b_1 | 1 | |
| 4 | $S_1, D_1 = 0, n_1 > 0$ $** A_2 = 0, N_2 > 0$ | $0 < b_1 < \frac{R}{R_1}$, $a < 2 - b_1$ | $2 - a < a$ | | $(a+b_1)/2$ | |
| 5 | DO残存 $*$ | $b_1 < 0$ | $2 - a < a$ | | 1 | |
| 6 | $S_1, n_1 > 0, D_1 = 0$ $**$ | $a < 2$ | $a < 2$ | | 0 | $a/2$ |

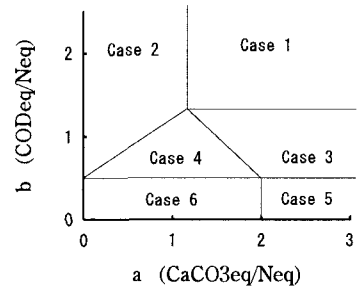


図2 流入水質の反応パターンへの影響

には嫌気状態も維持できる(Case 5)。Zone Bでは、Rが小さすぎても大きすぎるとも、脱窒に伴うアルカリ度回帰量不足が影響し、硝化が未了となる場合(Case 2, 4)がそれに加わる。Zone B, Cの境界はDの値により若干変化するが、日本の下水処理場流入水では、図3のプロット(第27, 28下水協年譲等より、全国各地7処理場)のように、すべてZone AかBに属すると思われる。

6. 循環率Rの影響および最適解

つぎに各ケースごとに算出した $m_0 \sim m_2$ を図1の n_2, N_2 の式に代入し求め、最終的な窒素除去率をa, b, R, Dで表した(表1)。そして各Zoneごとに、Rの変化に対応するケースを求める、除去率に対するRの影響を検討した。一例としてZone Bの結果を図4に示す。T-Nでは、各Zoneとも循環率Rの上昇とともに脱窒量が増大し、丁度嫌気槽で $NO_3^- - N$ 、基質がともに0となる時点(Zone A, B:Case 3→1、Zone C:Case 2→4)で最大となったのち、持込DOの影響増大のため減少する。表2に示すように最大T-N除去率とそのRは、Zone Cではa, b, Dの関数であるが、Zone A, Bはb, Dのみとなり、しかも同じ式となる。NH₄-Nでは、Zone Cで100%とならず、Zone B, Cで最適のR値が存在する。流入のNH₄-N、無機化CODが各28, 96mg/L、曝気槽終端DO3.2mg/Lの場合(a=1.6, D=0.04)、流入アルカリ度が80mg/L(b=0.8, Zone C)で3.2%($R=21.7$)、160, 240mg/L(b=1.6, 2.4; Zone B, A)でともに94.3%(R=16.4, Zone B)となり、限界のT-N除去率があることがわかる。

7. 流入組成の検討

上記の式で利用するa, bは、硝化・脱窒の対象となる成分のみを考慮したものであるので、実際の下水に当てはめるためには、共存する反応を考慮する必要がある。図5はその過程を模式化したものである。流入水のDO, BOD, NO₃-N, NH₄-N, T-N, アルカリ度が測定されている場合、まず、流入水の持込DO及びNO₃-Nによって消費された後の残りのBODをCOD(=ThOD)に換算する。ついでOrg-Nの脱アミノ反応を考慮し生成アルカリ度、NH₄-Nを算出し、最後に生物増殖の影響を考慮している。結果的にはこれで計算されるa, b値は単純にBOD, NH₄-N, アルカリ度から計算したものと類似の値となるが、場合により大きく異なる。

8. おわりに

本研究により、①嫌気好気循環法でもRは単純に増加したら除去率が向上するではなく、除去率には限界値、Rには最適値がある。②これらの値は、流入水質組成および曝気槽DOに応じた領域で式形が異なり、図3の領域に分けて考える必要がある。その値は表2で与えられる。③硝化脱窒以外の流入DO, NO₃-N、脱アミノ反応、生物増殖の影響は図5の式で補正可能などの成果を得た。本理論はすでに報告された研究例で検証しうる。

表2 各Zoneの変化パターンと最大除去率

| Zone | Case変化パターン (R:0→∞) | 除去率[必要R] |
|------|-----------------------|--------------------------|
| A | 1→3→5 | b-X/2 [0] |
| B | 2→1→3→4→5 | X/2D [2-a] a-1 |
| C | 2→4→6 | a-Y/2 [b-a+Y/2] a-Y/4 |

注) X=b-1-D+((b-1-D)²+4bD)^{1/2}
Y=a-b-2D+((a-b-2D)²+8aD)^{1/2}

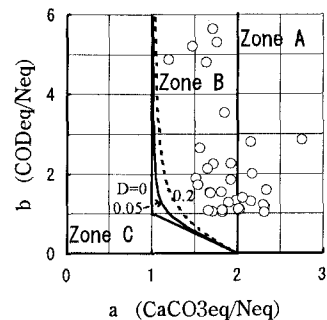


図3 日本の下水水質組成と各Zone

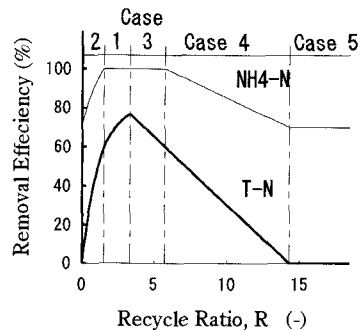
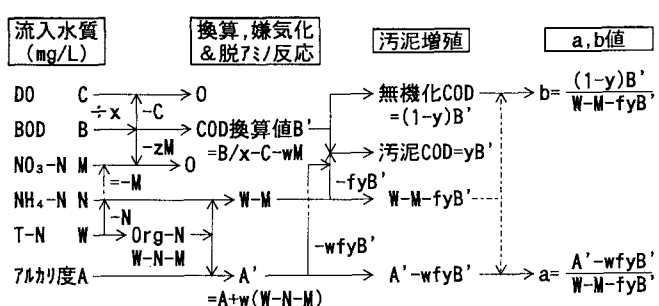
図4 循環率Rの除去率への影響
(a=1.4, b=1, D=0.07)

図5 測定流入水質からa,b値の計算方法概念図

注) x:BOD/COD比(-), f:活性汚泥のN/COD比, y:汚泥の収率(-)
w:窒素/アルカリ度等量比(=50/14), z:NO₃-Nの酸素当量比(=40/14)